

작은 셀갭에서 정확한 선경사각 측정을 위한 방법

Accurate Pretilt Angle Measurement for Small Cell Gap

서주홍, 손필국, 윤태훈, 김재창
 부산대학교 전자공학과
 orange02@pusan.ac.kr

선경사각은 액정 디스플레이의 성능에 영향을 주는 중요한 파라미터중의 하나이고 따라서 정확한 선경사각이 측정되어야 한다. 선경사각의 측정법에는 크게 Crystal Rotation Method[1], Magnetic Null Method[1], Capacitive Method[2], 3가지가 있으며, 이 중에서 Crystal Rotation Method가 측정의 신속성과 측정치의 정확성 때문에 일반적으로 쓰이고 있다[3]. 선경사각의 측정에 사용되는 액정셀은 서로 반대방향으로 러빙된 ECB셀을 사용한다. 그림1은 Crystal Rotation Method의 모식도이다. 액정셀의 회전시의 위상지연은 식(a)와 같이 표현되고 이는 회전각(ψ)와 선경사각(α)의 함수 $f(\alpha, \psi)$ 로 나타낼 수 있다. 여기서 $f(\alpha, \psi)$ 의 일차 미분값이 0이 되는, 즉 투과도가 최대값을 갖는 각 $\psi = \psi_0$ 을 측정하여 미분방정식을 풀어 선경사각 α 를 결정하게 된다.[1]

$$\delta(\psi) = \left(\frac{2\pi}{\lambda}\right) \cdot d \cdot f(\alpha, \psi) \quad (a)$$

$$f(\alpha, \psi) = \frac{1}{c^2} (a^2 - b^2) \sin \alpha \cdot \cos \alpha \cdot \sin \psi + \frac{1}{c} \left(1 - \frac{a^2 b^2}{c^2} \cdot \sin^2 \psi\right)^{1/2} - \frac{1}{b} (1 - b^2 \sin^2 \psi)^{1/2}$$

$$\left(a = \frac{1}{n_o}, b = \frac{1}{n_e}, c^2 = a^2 \cos^2 \alpha + b^2 \sin^2 \alpha, d = \text{cell gap}\right)$$

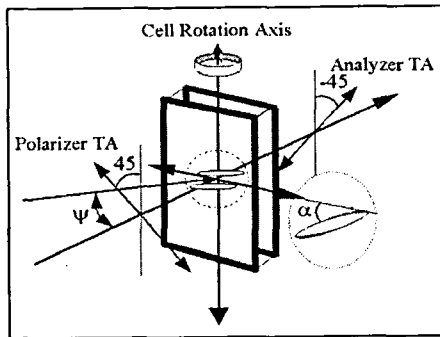


그림 1

여기서 선경사각을 측정하기 위해서는 보통 셀갭(cellgap)이 50 μm 이상인 셀을 이용하게 된다. 왜냐하면 셀갭이 크면 회전각(ψ)에 대해서 큰 $f(\alpha, \psi) \cdot d$ 값을 가지므로 투과도의 대칭점을 명확히 찾아 낼 수 있기 때문이다. 그러나 셀갭이 커지면 배향막 표면에서의 액정의 방향자와 액정셀 중심에서 방향자의 분포가 달라지므로 정확한 측정값을 얻을 수 없으므로 작은 셀갭으로 측정하는 것이 더 정확할 것이다. 또한 현재 액정 디스플레이에서는 원가절감, 응답속도 향상을 위해서 작은 셀갭으로 제작되고 있다. 하지만 작은 셀갭으로 만든 액정셀은 회전각(ψ)에 대해서 작은 $f(\alpha, \psi) \cdot d$ 를 가지므로 투과도의 대칭점이 분명하게 나타나지 않

므로 정확한 선경사각을 측정할 수가 없다.

본 논문에서는 작은 셀갭에서 정확하게 선경사각을 측정할 수 있는 방법을 제한하고자 한다. 위 그림1에서 직교 편광자일 때 최대 투과도는 $\psi = \psi_0$ 에서 식(b)와 같고, 평행 편광자일 때 $\psi = \psi_0$ 에서 최소

투과도를 가지고 식(c)와 같다. 여기서 최대값 $T_{\perp}(\psi)$ 을 최소값 $T_{\parallel}(\psi)$ 로 나누어 주면 $\psi = \psi_0$ 분명하게 나타나므로 정확한 선경사각을 측정할 수가 있다.

$$T_{\perp}(\psi) = \frac{1}{2} \cdot \sin^2 \frac{1}{2} \cdot \alpha(\psi_0) \quad (b)$$

$$T_{PVER}(\psi) = \frac{1}{2} \cdot \cos^2 \frac{1}{2} \cdot \alpha(\psi_0) \quad (c)$$

실험에 사용한 배향제는 RN-1702(선경사각 $1^{\circ} \sim 2^{\circ}$), 액정은 ML-0223이고 셀갭은 $20\mu\text{m}$, $11\mu\text{m}$, $8.5\mu\text{m}$, $3.65\mu\text{m}$ 를 사용하였다. 그림 2와 3는 셀갭 $20\mu\text{m}$ 일때 각각 $T_{\perp}(\psi)$ 과 $T_{\parallel}(\psi)$ 곡선이고, 그림4는 $T_{\perp}(\psi) / T_{\parallel}(\psi)$ 의 곡선이다. $\psi = \psi_0 = 5.7^{\circ}$ 이고 이때 선경사각(α)는 1.86° 가 됨을 알 수 있다.

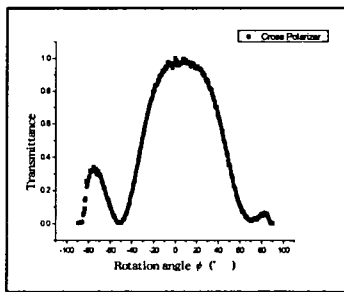


그림 2. $T_{\perp}(\psi)$

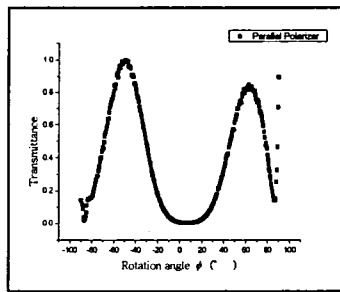


그림 3. $T_{\parallel}(\psi)$

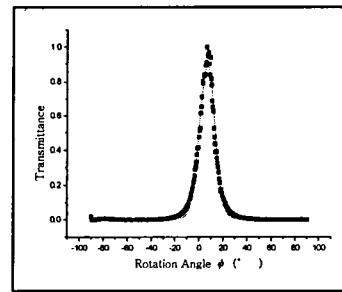


그림 4. $T_{\perp}(\psi) / T_{\parallel}(\psi)$

그림 5, 6, 7은 각각 셀갭이 $3.65\mu\text{m}$, $8.5\mu\text{m}$, $11\mu\text{m}$ 일 때의 $T_{\perp}(\psi) / T_{\parallel}(\psi)$ 의 곡선이다. 이들의 $\psi = \psi_0$ 은 각각 5.09° , 6.0° , 4.5° 이고, 이때 선경사각(α)은 1.68° , 1.97° , 1.48° 가 된다.

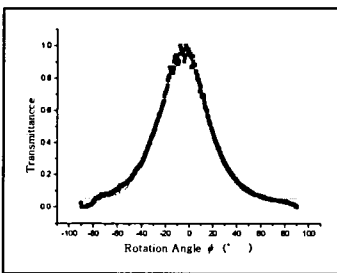


그림 5 셀갭 $3.65\mu\text{m}$

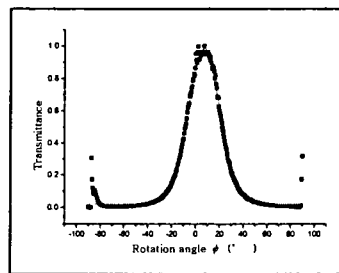


그림 6 셀갭 $8.5\mu\text{m}$

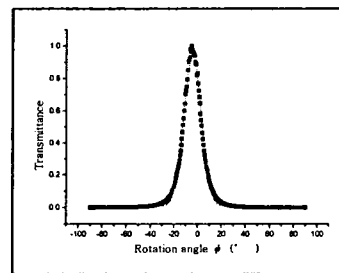


그림 7 셀갭 $11\mu\text{m}$

감사의 글

이 논문은 LG-Philips LCD의 "이온빔 배향기술 확보 및 IPS 셀의 휘도 향상을 위한 기반기술 확보" 과제 일환으로 연구되었습니다.

References

- [1] T. J. Scheffer and J. Nehring, J. Appl. Phys. 48, 1783 (1977).
- [2] Meyebofer, Phys. Lett. A 51,407 (19750).
- [3] Kwan-Young Han, Tetsuya Miyashita and Tatsuo Uchida, Jpn. Appl. J. Phys. 32, L277(19)

T
D